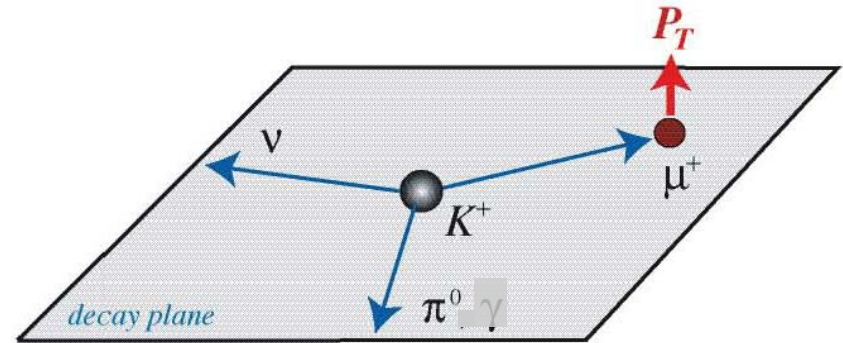


# ミュオン横偏極



$$P_T = \frac{\sigma_\mu \cdot (\mathbf{p}_{\pi^0} \times \mathbf{p}_{\mu^+})}{|\mathbf{p}_{\pi^0} \times \mathbf{p}_{\mu^+}|}$$



- $P_T$  is T-odd and spurious effects from final state interaction are small.  
**Non-zero  $P_T$  is a signature of T violation.**
- Standard Model contribution to  $P_T$ :  $P_T(\text{SM}) < 10^{-7}$
- Spurious effects from final state interactions:  $P_T(\text{FSI}) < 10^{-5}$
- There are theoretical models which allow sizeable  $P_T$  without conflicting with other experimental constraints.

## *KEK-PS E246 experiment*

$$P_T = -0.0017 \pm 0.0023(\text{stat}) \pm 0.0011(\text{syst})$$

( $|P_T| < 0.0050$  : 90% C.L. )

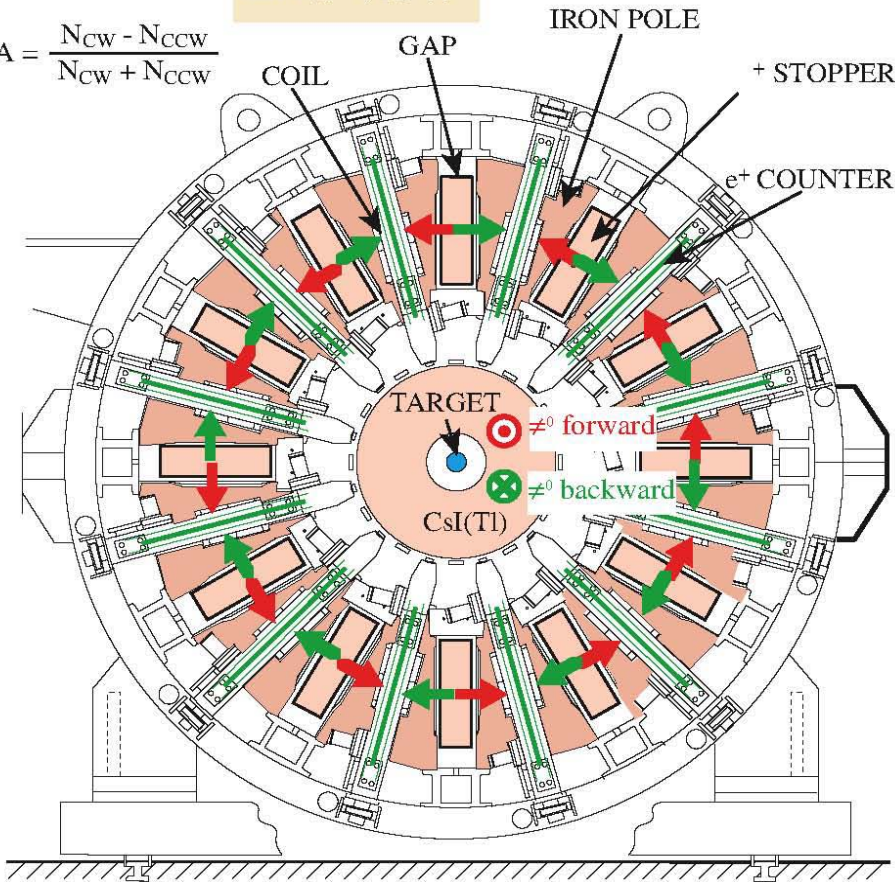
$$\text{Im}\xi = -0.0053 \pm 0.0071(\text{stat}) \pm 0.0036(\text{syst})$$

( $|\text{Im}\xi| < 0.016$  : 90% C.L. )

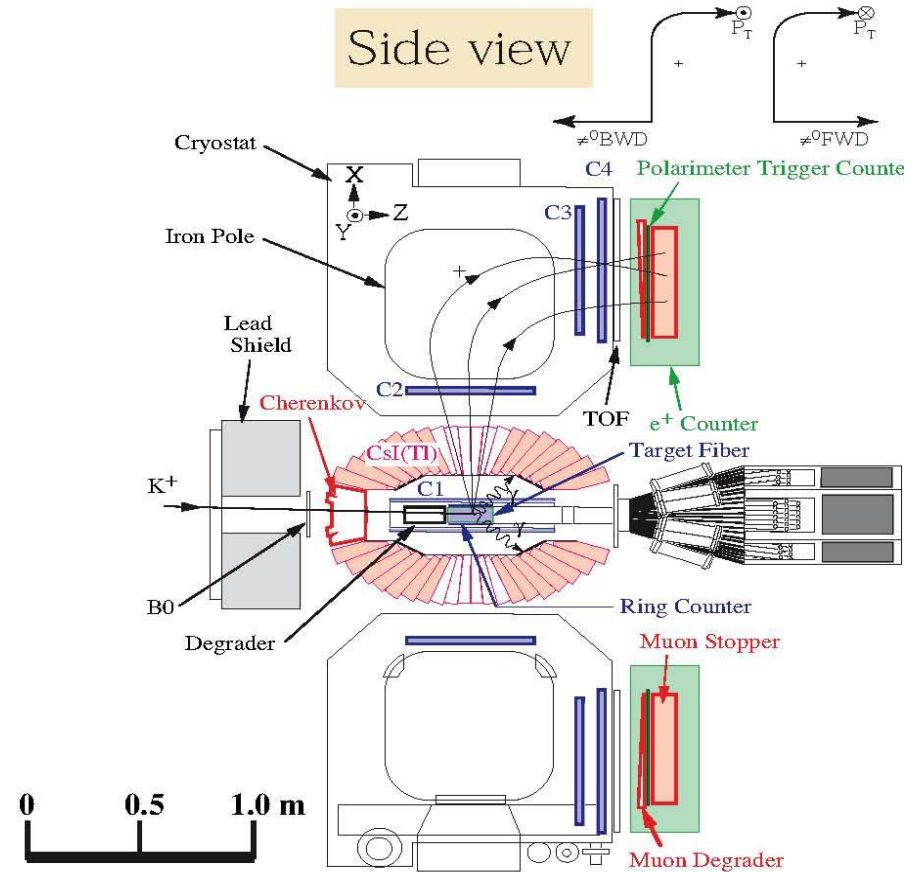
# E06 (TREK) 実験

End view

$$A = \frac{N_{cw} - N_{ccw}}{N_{cw} + N_{ccw}}$$



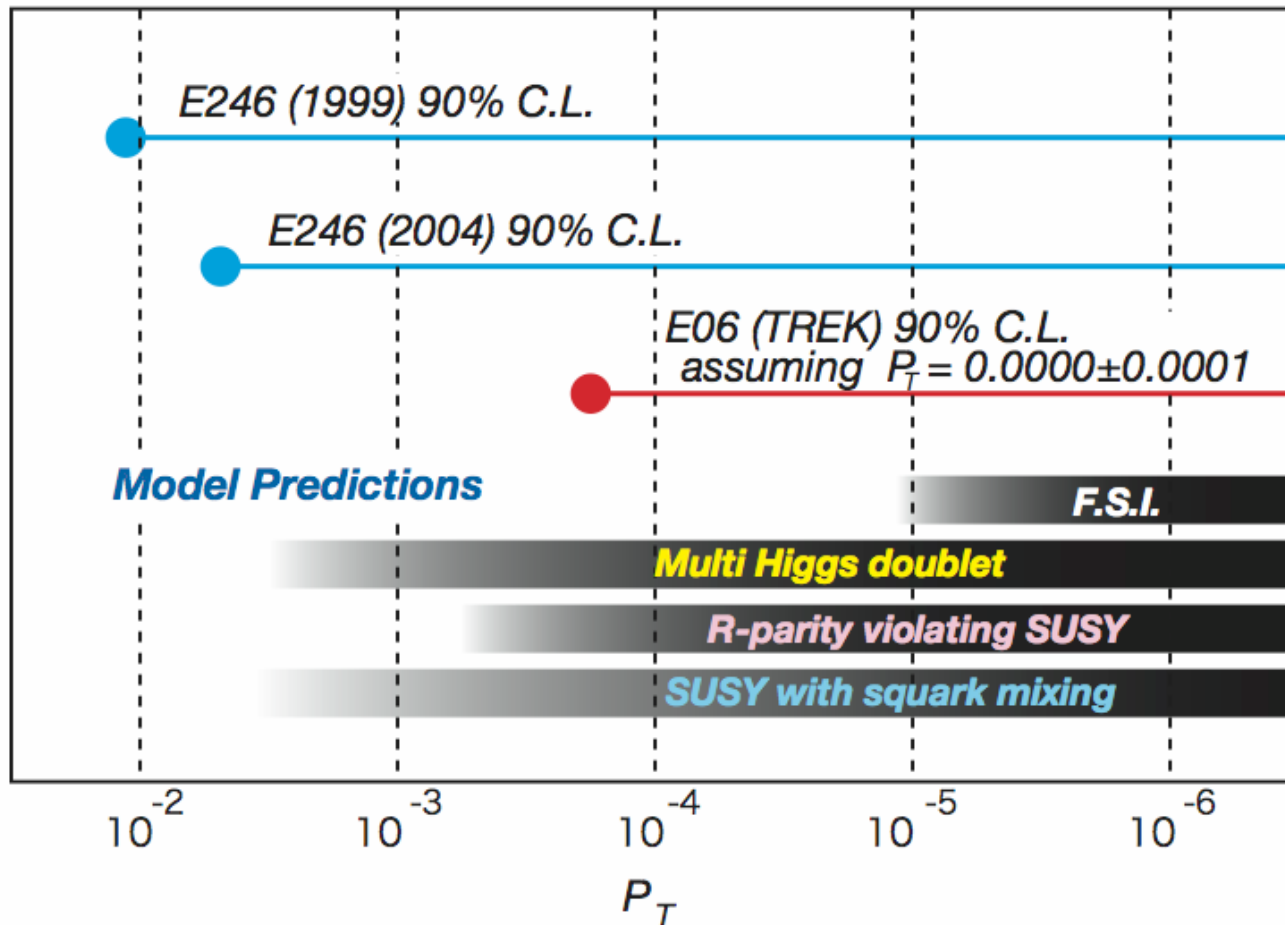
Side view



- Stopped  $K^+$  decay
- SC Toroidal spectrometer

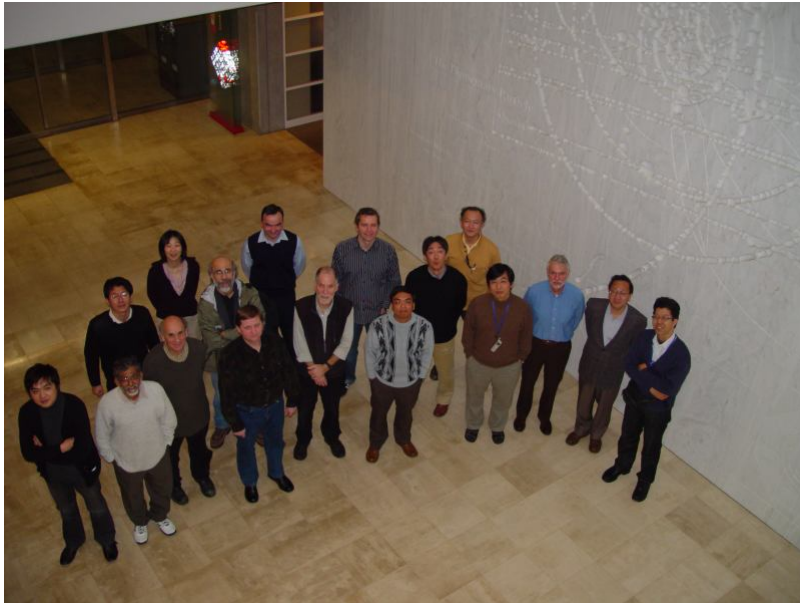
- Measurement of  $e^+$  emission  $cw/ccw$  asymmetry when  $\pi^0$  in  $fwd/bwd$  directions

# E06 (TREK) 目標感度



- $10^{-4}$ の感度で幾つかの理論モデルが射程内
- $\varepsilon'/\varepsilon$  が New Physics とすると、 $K^+$ の $P_T \sim 10^{-4}$  (I.Bigi)

# TREK実験の現状とスケジュール



## *TREK collaboration*

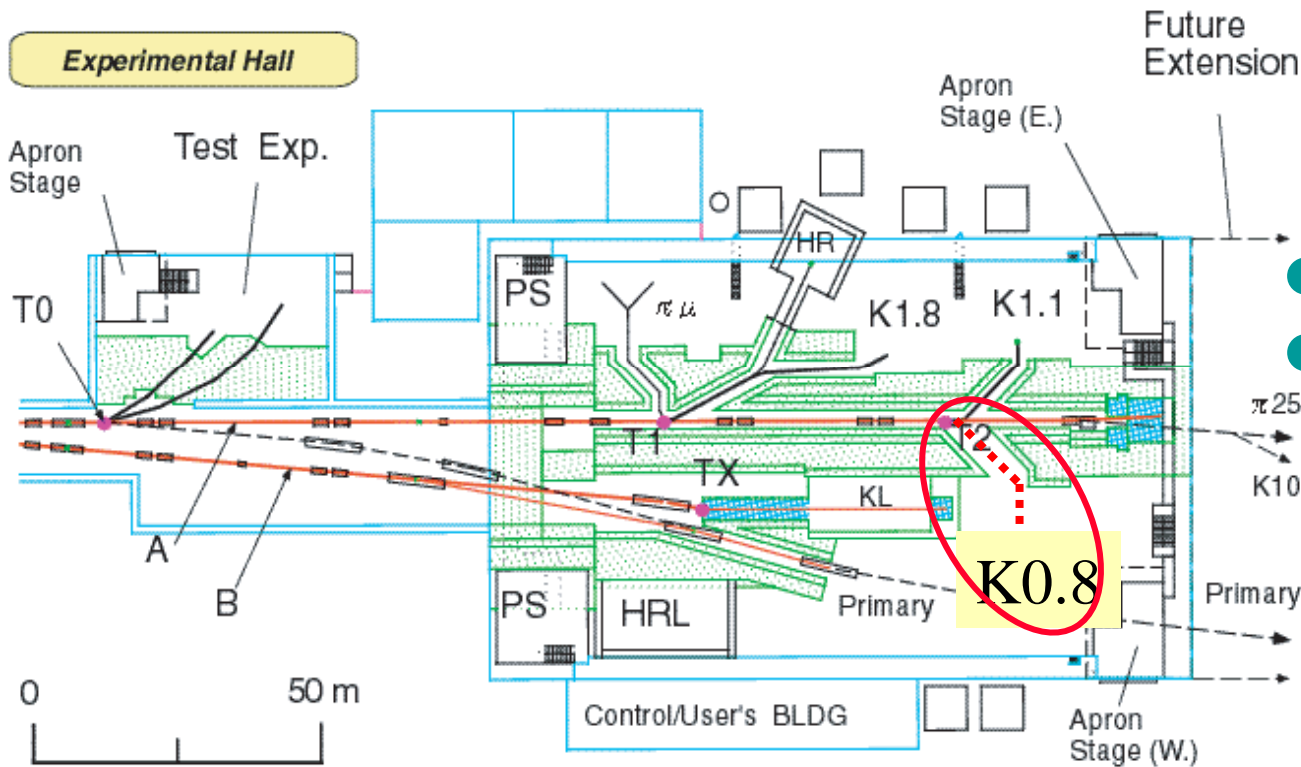
5カ国(カナダ、米国、ロシア  
ベトナム、日本)の13大学/研究  
所

<===

2007年2月のKEKミーティング

- 2006年夏にStage-1 Approval
- 2006~2007 測定器要素のR&D
- 2007年6~7月 ; FIFC審査と第3回PACへの報告
  - 測定器のアップグレード方針、系統誤差の評価 etc が認められる。
- Stage-2を要求中 : **ビームラインが一つのネック**
- 2011~2012の実験実施を目標

# J-PARCでの理想的静止 $K^+$ 用ビーム



- 第2標的 T2 から
- しかし第2期

## ● KEK-PS

–K3 (東カウンターホール)  $0.5 \sim 1.1 \text{ GeV}/c$

● Single stage ESS ; 14.5 m

–K5 (北カウンターホール)  $< 0.65 \text{ GeV}/c$

● Single stage ESS ; 12.5 m

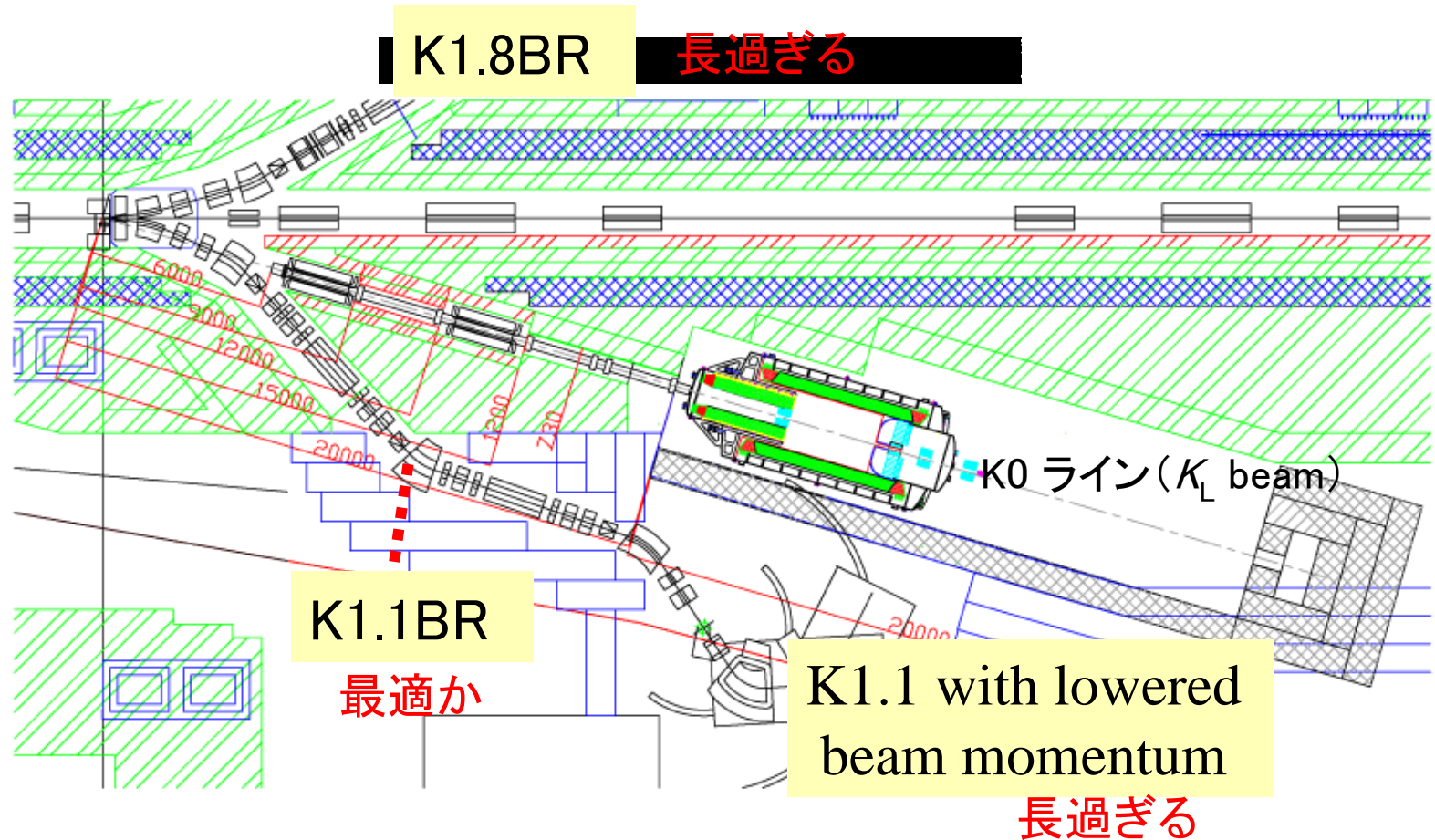
## ● BNL-AGS

–C4-LESBIII  $< 0.83 \text{ GeV}/c$

● Double stage ESS ; 19.6 m

# 第1期での K0.8 の可能性

- T1 標的の最大限有効利用



# K1.1-BR レイアウト

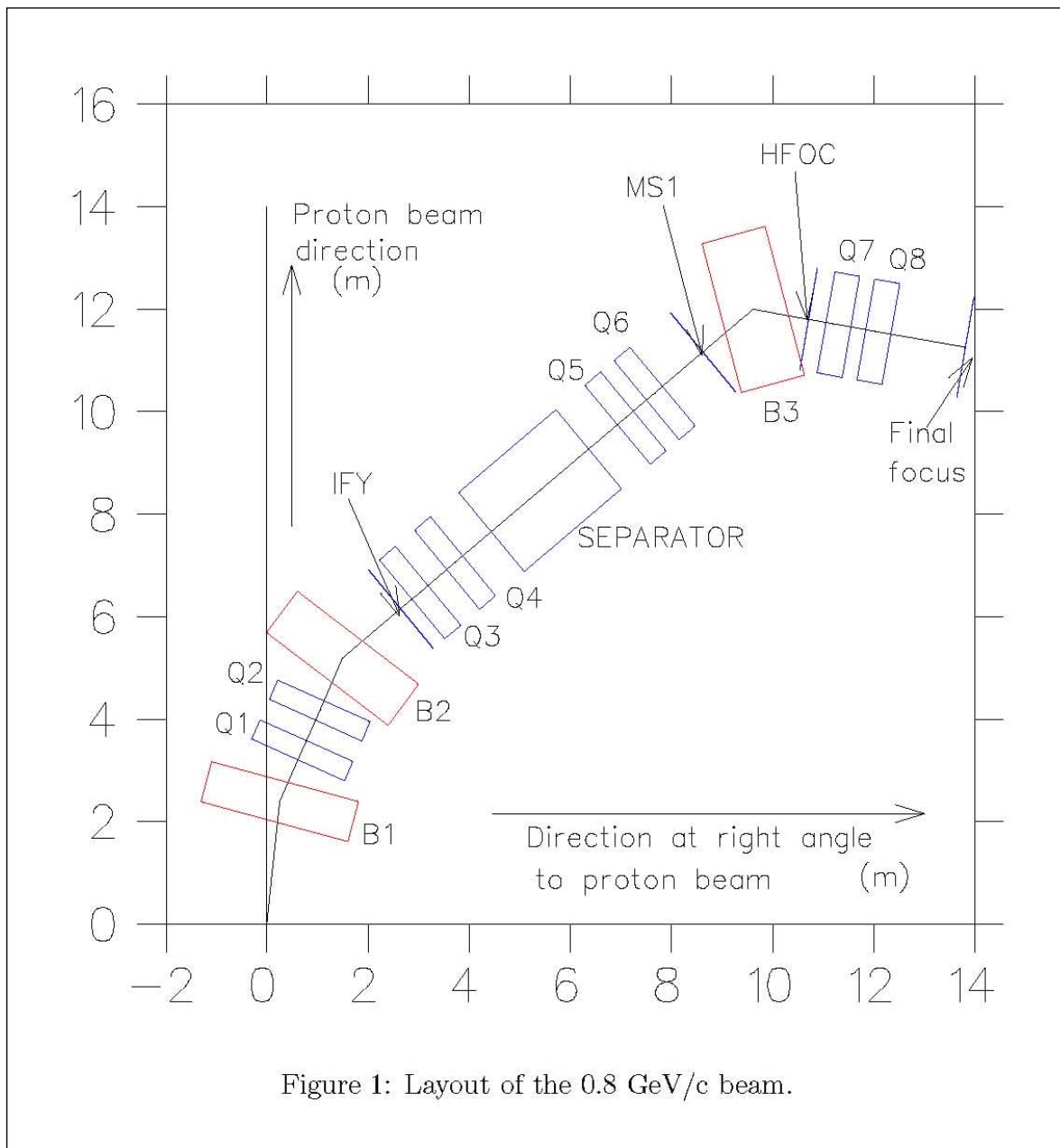


Figure 1: Layout of the 0.8 GeV/c beam.

# Doornbos氏の設計

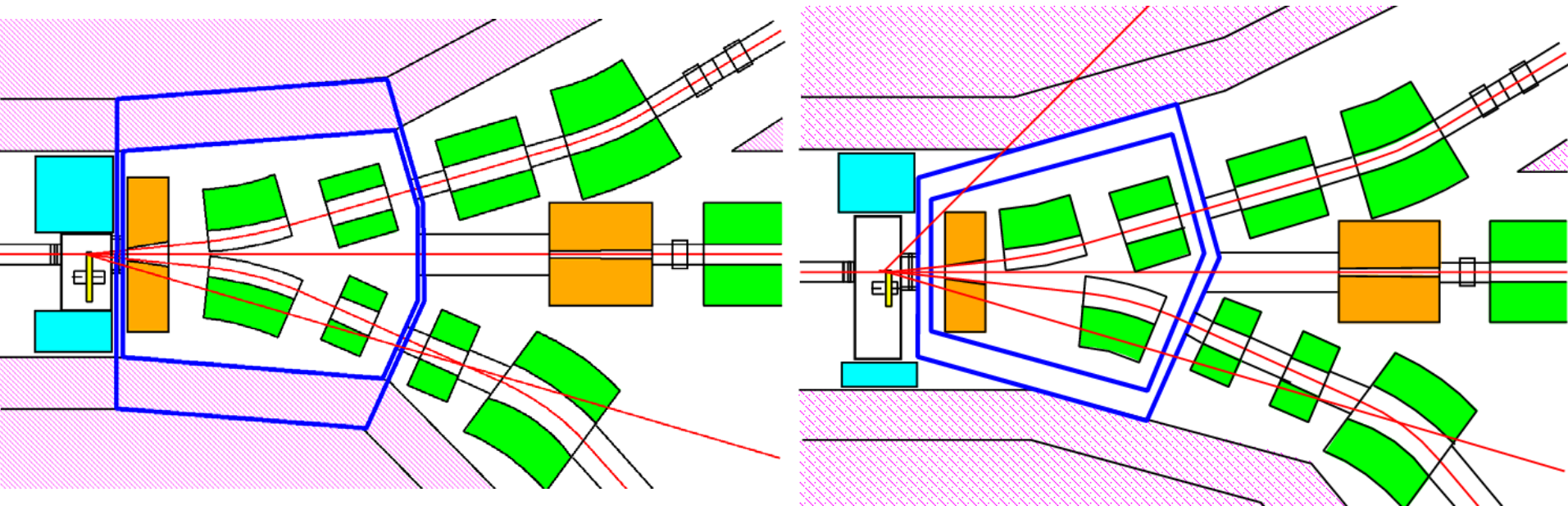
- K1.8-BR の考え方と全く同じ

- A branch of K1.1
- Common use of the upstream part up to MS1
- Macroscopic time sharing with K1.1
- Effective use of IFY
- Moderate  $K/\pi$  ratio with a single-stage ESS
- 2005年当時のK1.1光学設計に基づいてK1.1BRの比較的詳細な光学設計  
(2007年にビーム光学の修正があったが基本的なところは変更がない。)



# K1.1 new beam optics

- Due to the conflict between K1.8B1 and K1.1B1  
Distance to B1 from T1= 2.0 m (1.2 m before)
- New optics calculation done

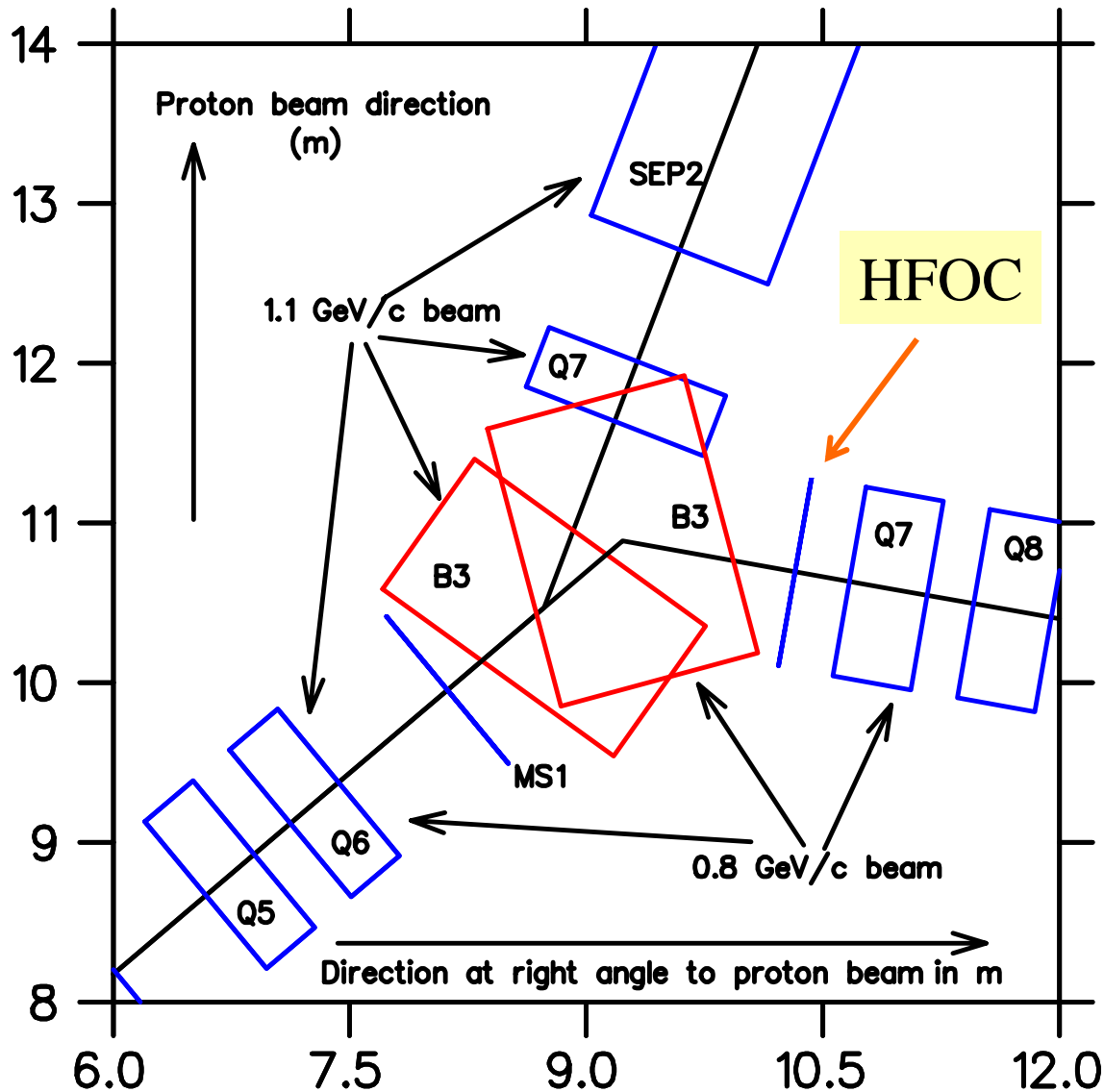


$$\Omega(\text{K1.1-BR}) = 6.0 \text{ msr}\%(\Delta p/p)$$

$$\Omega(\text{K1.1-BR}) = 4.5 \text{ msr}\%(\Delta p/p)$$

*K1.1のアクセプタンスが小さくなったのは残念であった。*

# Replacement of B3



# K1.1-BR Design principle

- Effective use of wedge focus to make HFOC
- Suppression of slit-scattered pions at HFOC
- Suppression of muons also at HFOC

以上K1.8BRと異なる部分

- Cloud pion source definition by IFY

# K1.1-BR

## Beam envelop

@ 0.8 GeV/c

$$x' = 35 \text{ mr}$$

$$y' = 9 \text{ mr}$$

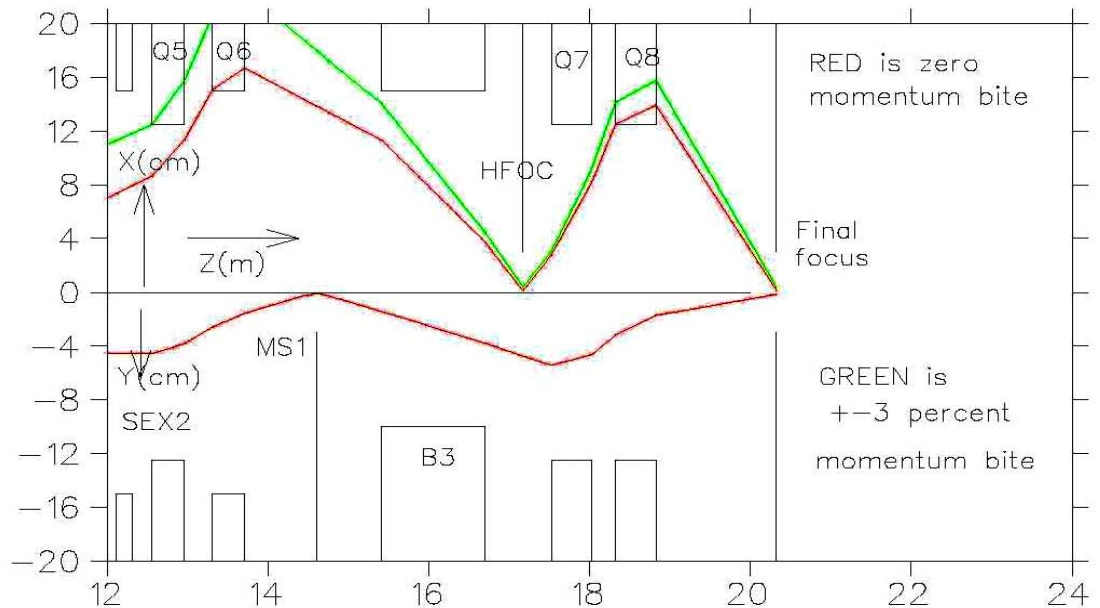
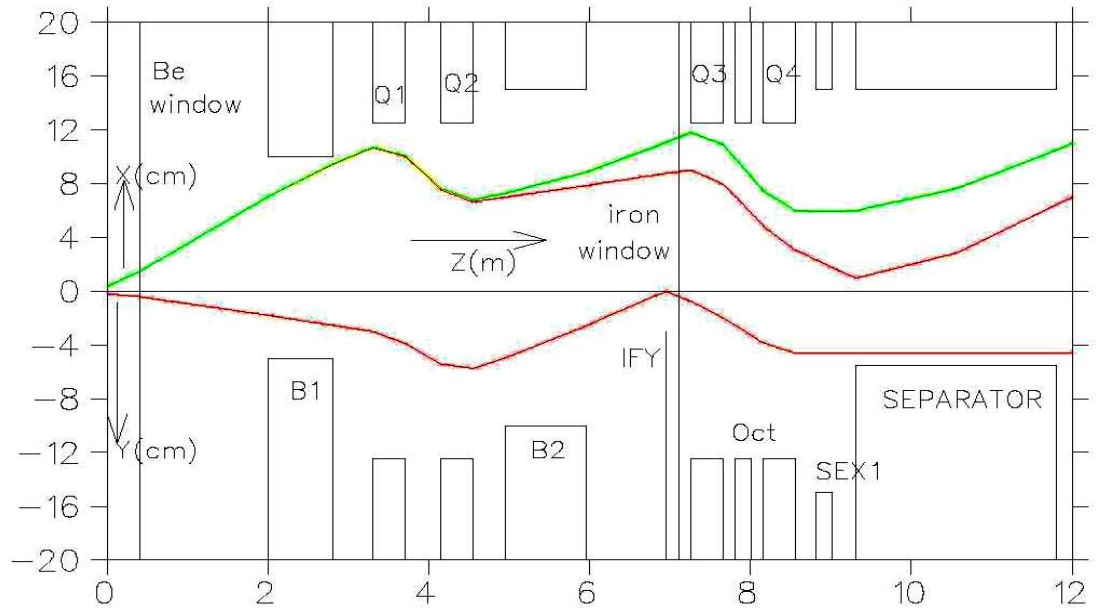
$$x = 3.5 \text{ mm}$$

$$y = 2.0 \text{ mm}$$

$$\Delta p/p = 0, \pm 3\%$$

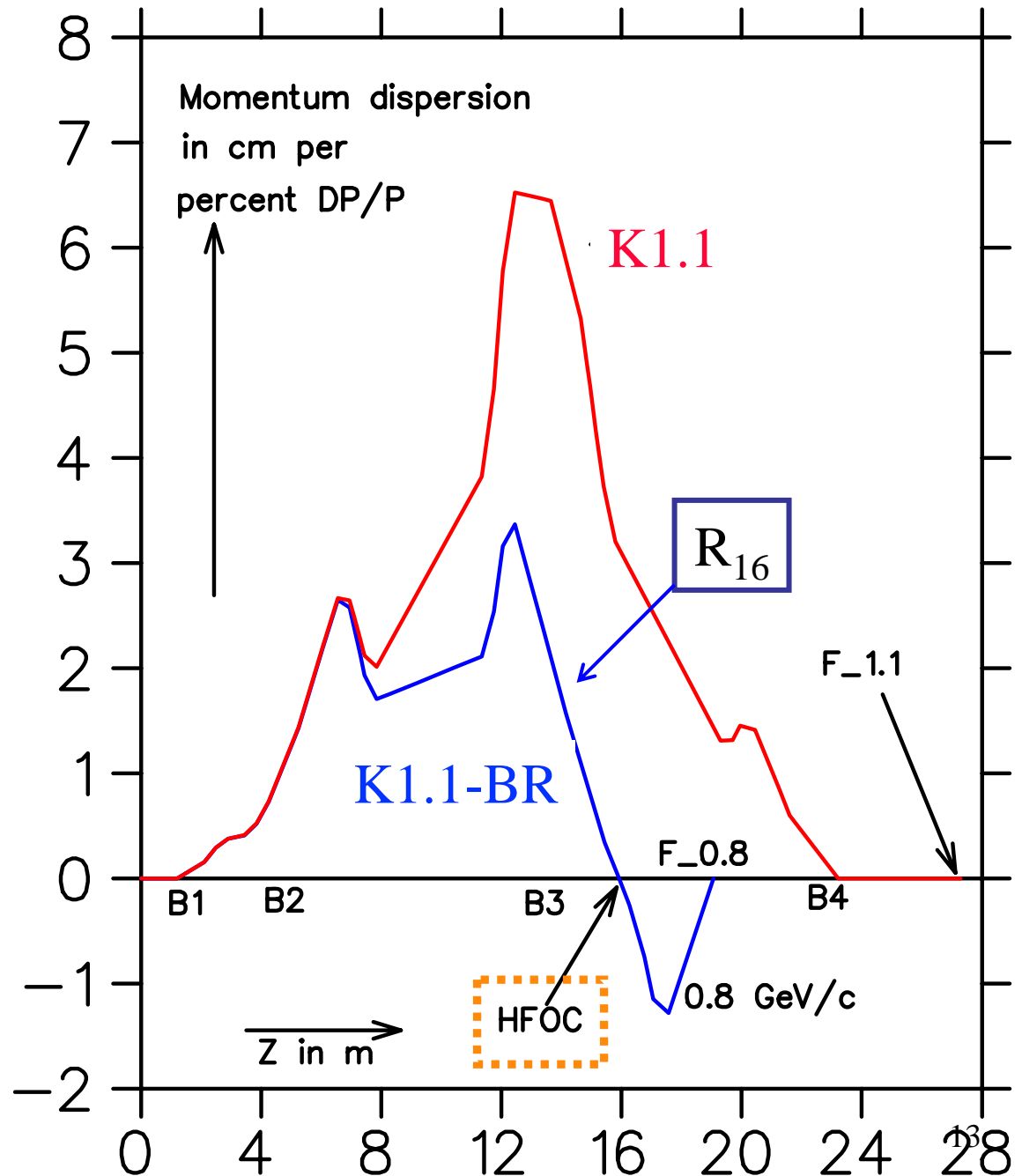
$$\text{Length} = 20.3 \text{ m}$$

$$\text{Acc} = 4.5 \text{ msr } \% \Delta p/p$$



# Momentum dispersion

$$R_{16}(\text{FF}) = 0$$
$$R_{26}(\text{FF}) \neq 0$$



# IFY profile

ZGOUBI calculation

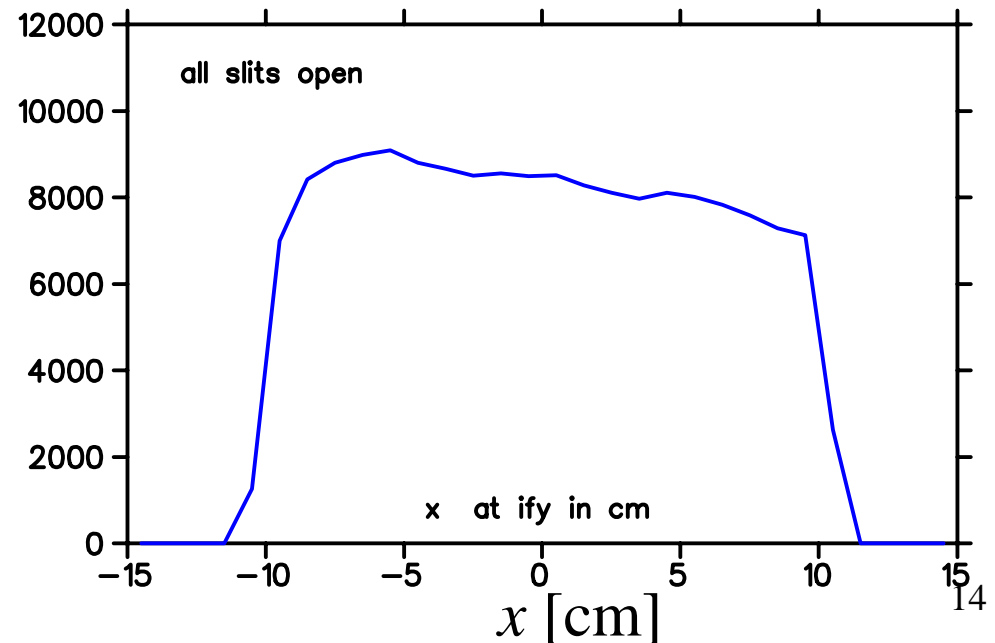
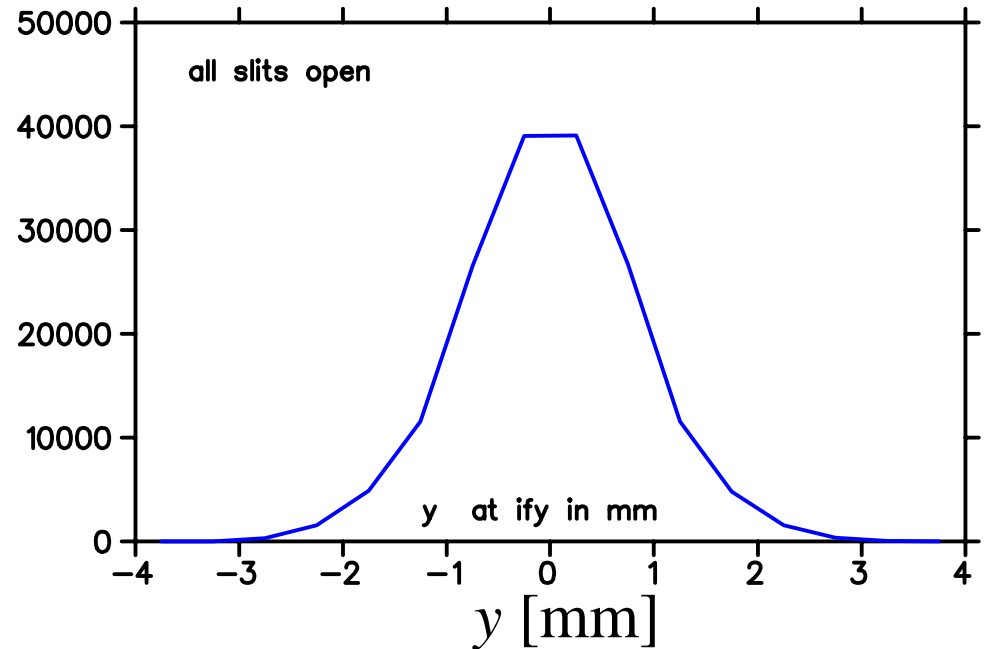
Source size

$$\Delta x = 2 \text{ mm}$$

$$\Delta y = 2 \text{ mm}$$

ZGOUBI:

- Q fringing field
- Up to 5th order

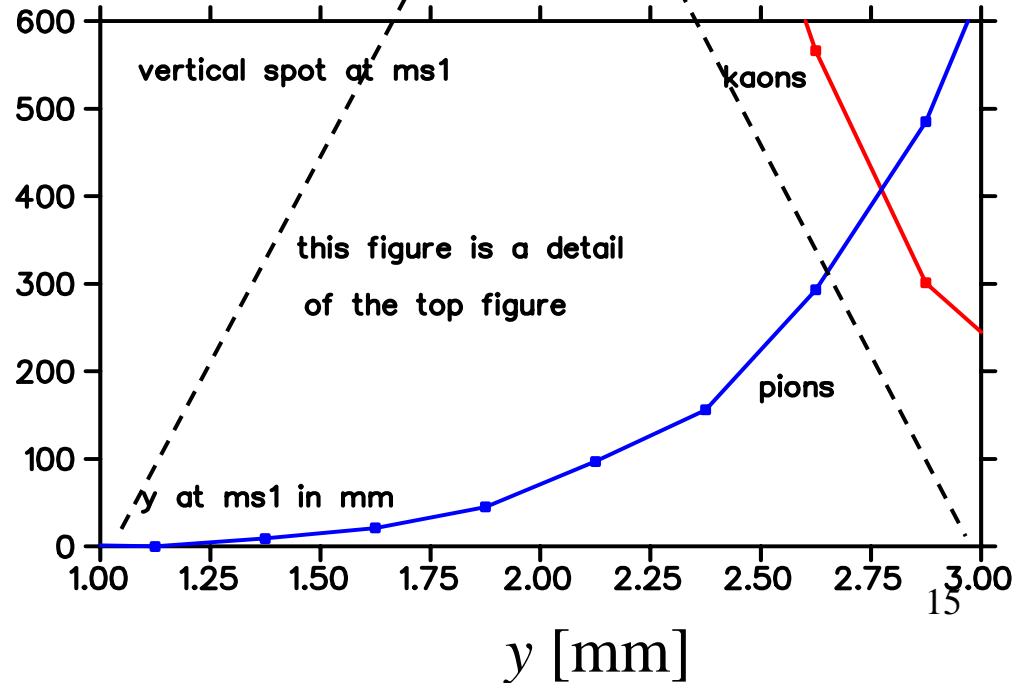
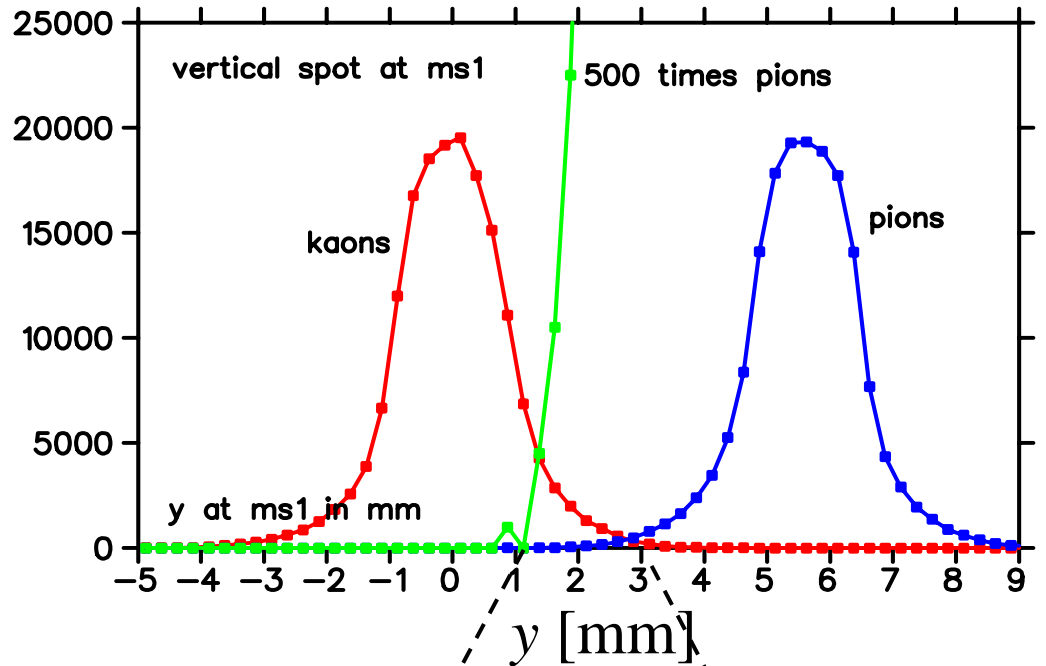


# MS1 profile

DCS = 550 kV/10cm

Pion kick = 2.2 mr

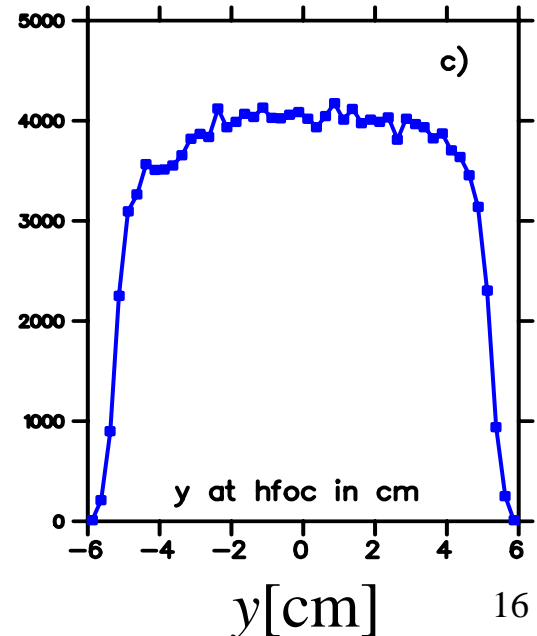
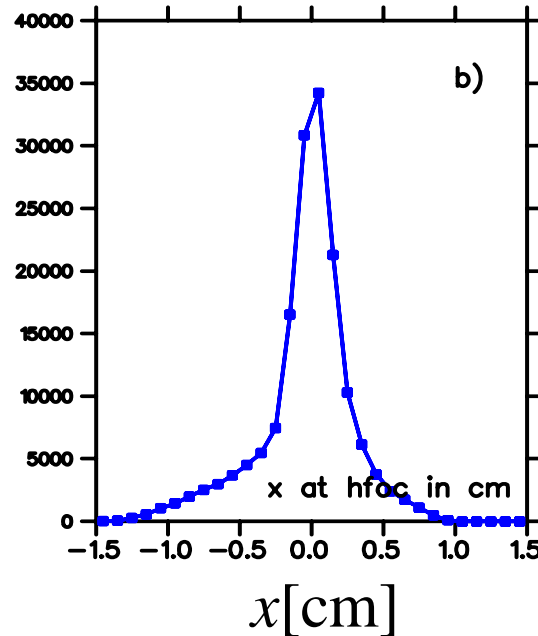
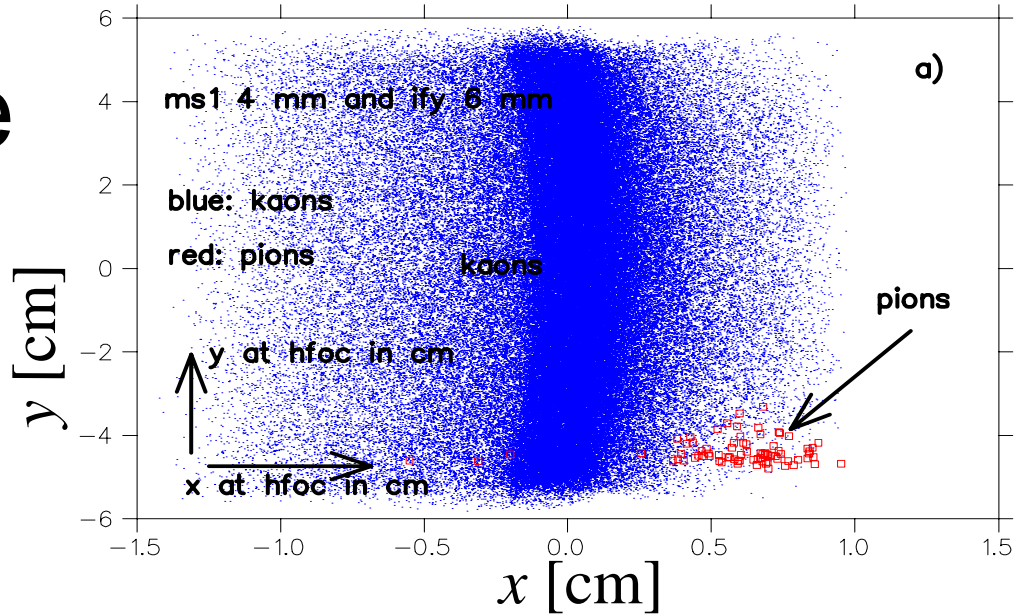
ZGOUBI calculation



# HFOC profile

ZGOUBI calculation

Pions =  
direct pions  
from the target





# Final focus

## ZGOUBI calculation

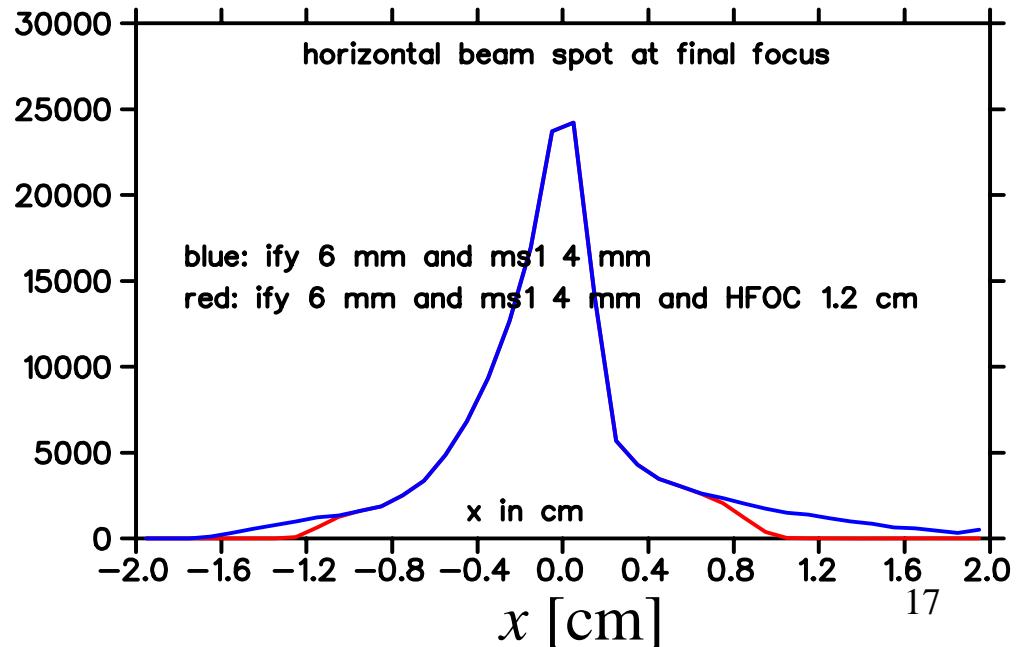
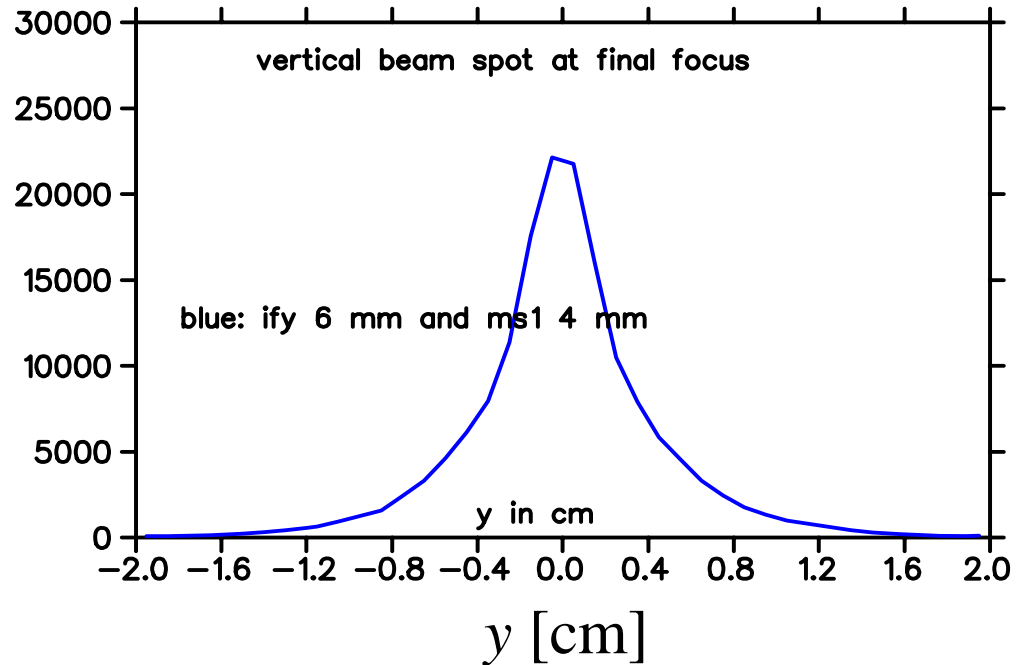
$$R_{16} = 0$$

*cf.*  $R_{16} \neq 0$   
@ K5

→ source of  
systematic errors

$$R_{26} \neq 0$$

- less problematic
- longer target



# Pion contamination

## Three sources:

1. Higher order aberration  
simulation by ZGOUBI
2. Slit scattering
3. Cloud pions from  $K_s$  ( $c\tau = 2.7$  cm)  
simulation by REVMOC

## Aberration:

$$y = R_{33}y_0 + R_{34} \phi + A_1 \phi\theta + A_2 \phi\theta^2 + B_1 \phi\delta + B_2 \phi\delta^2 + \dots$$

$A_1, B_1 = 0$  by adjusting the sextupoles S1 and S2

$A_2, B_2$  were minimized by optimizing the octupole O1

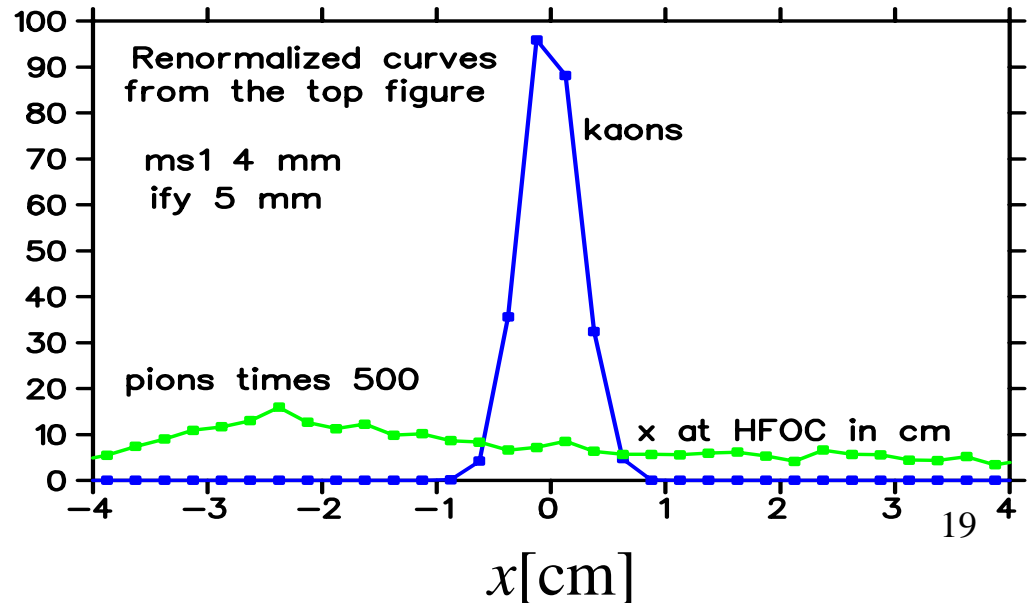
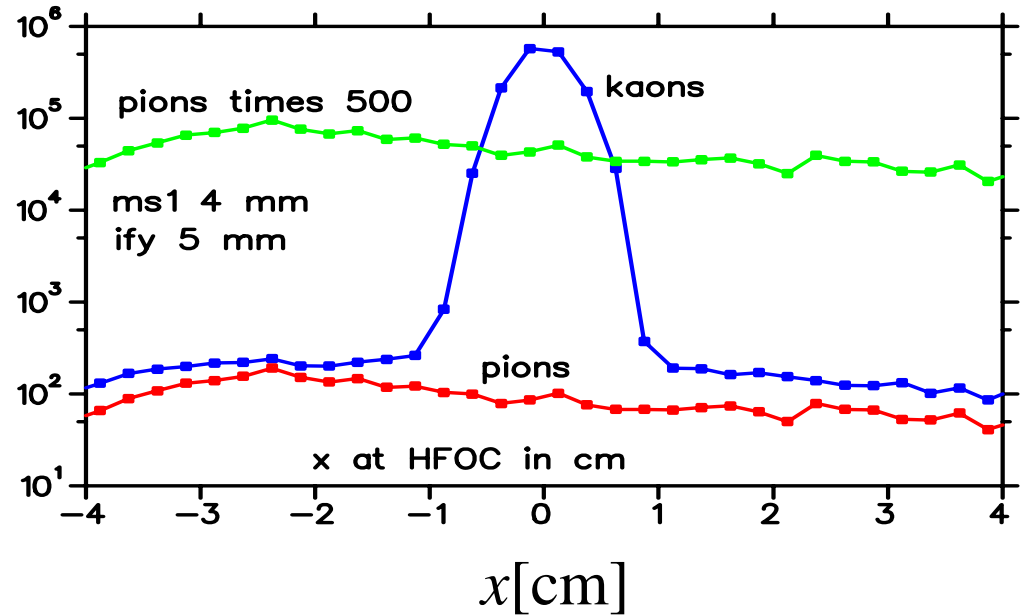
# Rejection of slit-scattered pions

$x$ -profile at HFOC

- Slit scattering simulation with REVMOC from IFY and MS1

- with 30 cm thickness tapered (20 mr at both ends)

*HFOC is effective !*



# Rejection of cloud pions

Accepted  $y$  region at the production target

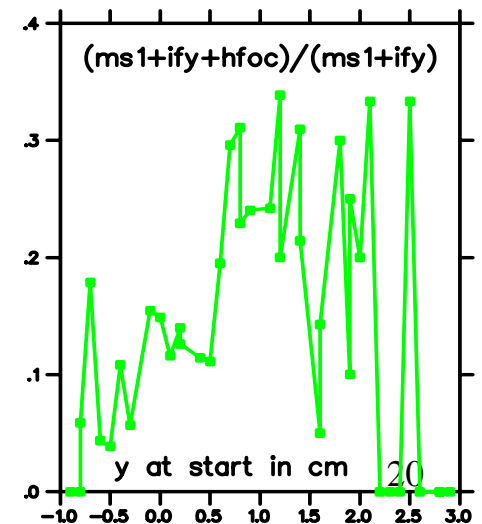
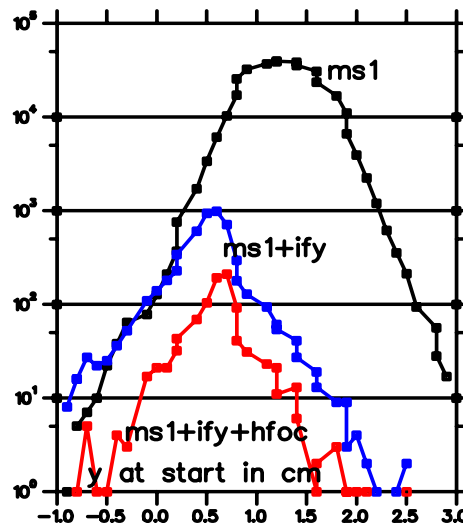
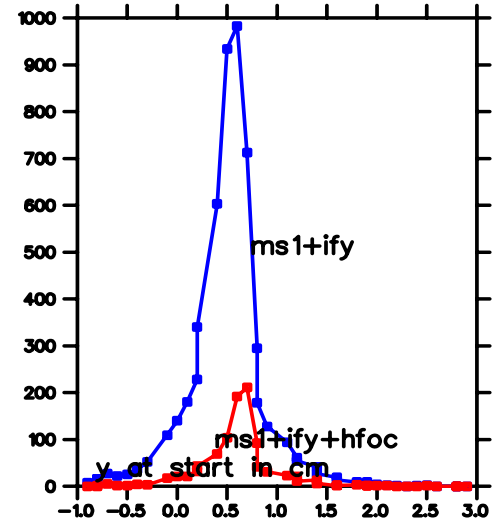
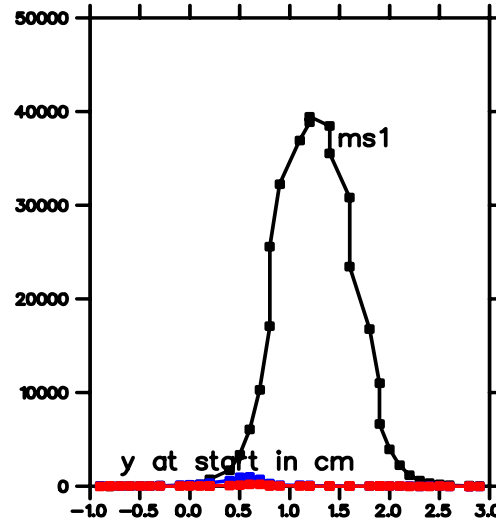
Pion source of  
 $x = \pm 2$  cm  
 $y = \pm 2$  cm  
was assumed.  
(c.f.  $c\tau = 2.7$  cm)

IFY = 5 mm

MS1 = 4 mm

HFOC = 1.6 cm

*HFOC is effective !*



# Kaon yield and $\pi/K$ ratio

Table 3: Kaon acceptance and pion contamination as function of slits for a gaussian vertical source with  $\sigma=1.3$  mm. All widths are full width.

MS1 (mm)	HFOC (cm)	N(kaons)	N(pions)	pi/K	acceptance (msr.percent)
5	open	52,348	40	0.46	4.7
5	1.2	46,107	26	0.33	4.1
4.5	open	51,263	24	0.28	4.6
4.5	1.4	46,862	19	0.24	4.2
4	open	49,631	15	0.18	4.5
4	1.2	43,688	8	0.11	3.9

# Scattered pions

Table 8: Contamination due to scattering as function of slit apertures.

IFY (mm)	MS1 (mm)	HFOC (cm)	Y at HFOC (cm)	N(K))	N(PI)	Accep tance	Pi/K
open	4	open	open	86536	178	5.2	1.23
6	4	open	open	80866	262	4.9	1.94
6	4	1.6	open	79630	38	4.8	0.29
6	4	1.2	open	76407	26	4.6	0.20
6	4	1.2	+5,-15	74342	9	4.5	0.07
open	5	open	open	91557	316	5.5	2.07
6	5	open	open	85043	451	5.1	3.18
6	5	1.6	open	83978	56	5.0	0.40
6	5	1.2	open	80034	38	4.8	0.28
6	5	1.2	+5,-15	77557	17	4.7	0.13

# Cloud pion contamination

Table 4: Cloud pions as function of slit apertures

MS1 (mm)	IFY (mm)	N(pions)	
5	open	14,994	
5	6	902	
4	open	11,563	Pi/K~5
4	6	364	Pi/K~0.16

# Muon contamination

Table 7: Muon contamination as function of slit apertures.

IFY (mm)	MS1 (mm)	HFOC (cm)	N(pions)	K/Mu
open	5	open	1970	2.33
open	5	1.2	684	0.81
6	5	open	695	0.82
6	5	1.2	190	0.22
open	4	open	1477	1.75
open	4	1.2	588	0.70
6	4	open	544	0.64
6	4	1.2	145	0.17



# Summary of the K1.1BR beam

- Acc = 4.5 msr %  $\Delta p/p$   
c.f. Acc (K1.1) ~ 2 msr %  $\Delta p/p$   
Acc (LESB3) ~ 50 msr %  $\Delta p/p$
- $I_{K^+} \sim 2.1 \times 10^6/\text{s}$
- $\pi^+(\mu^+)/K^+ \sim 0.6$  assuming  $\sigma_\pi/\sigma_K = 600$
- Beam spot :  $d_x \sim d_y \sim 1 \text{ cm} \ll \text{@K5}$   
(old calculation)

# $n$ -value in B1

最近の検討で、第一エレメントをCombined-function magnet とするとアクセプタンスが大幅に改善されることが判明。

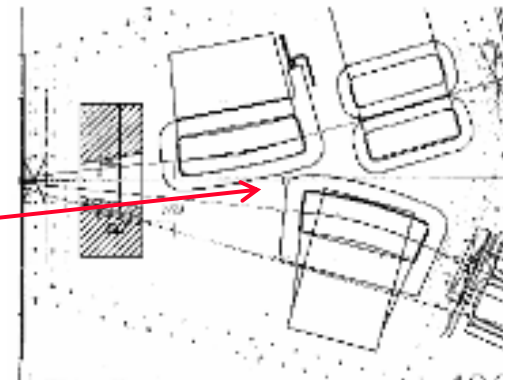
- $BY(x,0)=BY(0,0)*(1-nx/\rho)$
- TRANSPORT input  
4.000 'B1' 0.80000 10.47709 -6.74614;  
Q2 is turned off

アクセプタンス  $\Omega=8.0$  msr% ( $\Delta p/p$ )  
1.75 倍の増加！

チェックすべき課題：

- 1) K1.1ビーム光学が可能であるか？
- 2) 構造的、技術的問題

この部分



## K1.1-BR 今後の進め方

- FIFCレビューア Phil Pile氏の助言の検討
  - 2~3のスリットの追加の可能性
  - 更なる $K/\pi$ 比改善の努力
- 検討結果を”K0.8 beam design progress report”として次回のPACへ報告する。
- 素核研/J-PARCにはビームライン設置の計画（年次計画、予算計画）をPACに示すことを願います。

# 第3回PACの助言

- To: E06

The PAC is also concerned that there are several conflicts and interferences between the K0 beamline and K1.1-BR beamline designs, as mentioned in the FIFC report. The discussion on the stage-2 recommendation will be made after we hear from the IPNS/J-PARC management on the realistic plan of the beamline.

- To : IPNS/J-PARC

The PAC considers that it is important for the IPNS/J-PARC management to develop a realistic plan for the completion of the beam lines.

.....

# まとめ

- E06 (TREK) 実験のためのK1.1-BRの詳細な検討が進んでいる。K1.1-BRとして理想的な光学はほぼ固まっている。
- ビームラインの早期の実現のためには、K1.1ビームも含めた全体の計画が1日も早くできている必要。K1.1の実験提案が早く出てくることを望みたい。
- PACからの宿題であるK0とK1.1干渉問題の解決と、K1.1先頭部の設置時期の計画策定は、ハドロンビームライングループに依存している。宜しくお願いします。